

Colloque TSMR – CFBR

Transport sédimentaire : rivières et barrages réservoirs

Du 15 au 17 mars 2022 - Saclay



EVOLUTION DE L'HYSTERESE ENTRE DEBIT ET CONCENTRATION LE LONG D'UN TRONÇON DE RIVIERE

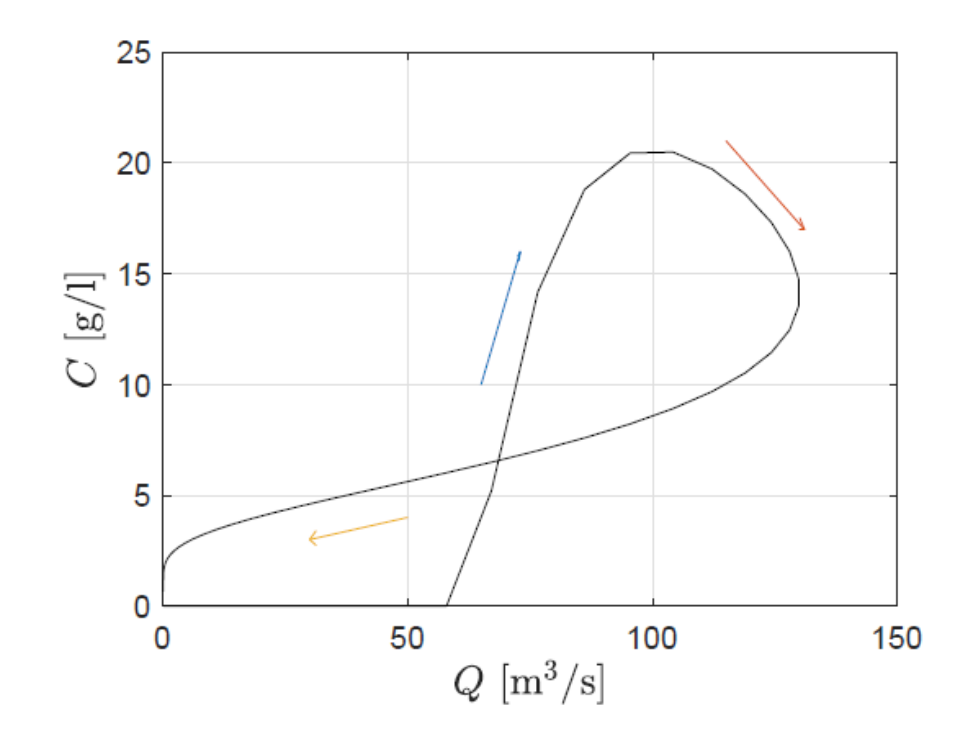
Benoît CAMENEN (1),

Junjian DENG (1)

(1) Inrae UR RiverLy, centre de Lyon-Grenoble, 5 rue de la Doua 69100 Villeurbanne







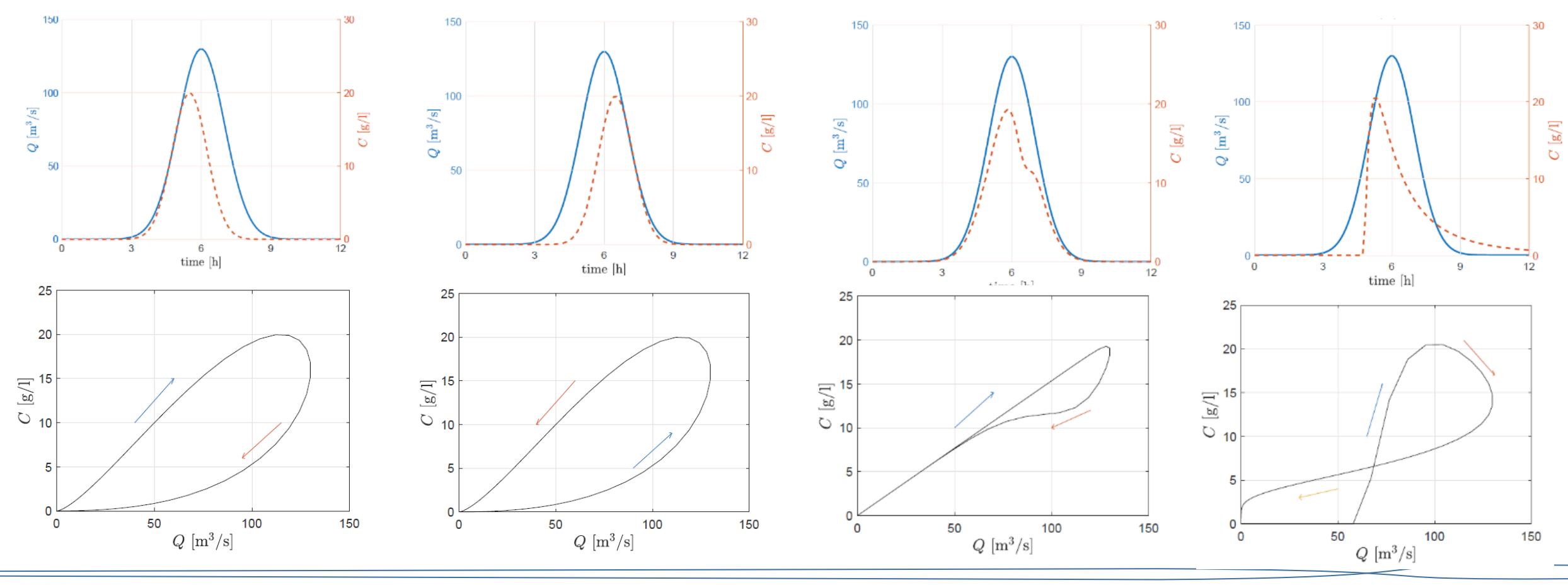
Hystérèse entre débit et concentration

- Pas (ou rarement) de relation bijective entre la concentration en MES (Matières En Suspension) et le débit en une section donnée d'une rivière
 - Pour un débit donné, variation de la quantité et qualité de sédiments fins érodée dans en bassin versant selon la localisation et le type de pluie ayant engendré l'érosion (Walling & Webb, 1996)
 - Location du stock mobilisé de sédiments fins sur le bassin versant mais aussi directement dans le lit de la rivière (Navratil et al., 2010)
 - Possible épuisement des stocks au cours de l'événement (Nistor & Church, 2005)
- Hystérèse principalement fonction de la distance à la source (propagation plus lente que l'onde de crue en fluvial)



Classification des hysterèses (William, 1989)

(I) hystérèse horaire, (II) hystérèse anti-horaire, (III) hystérèse à seuil, (IV) hystérèse en 8





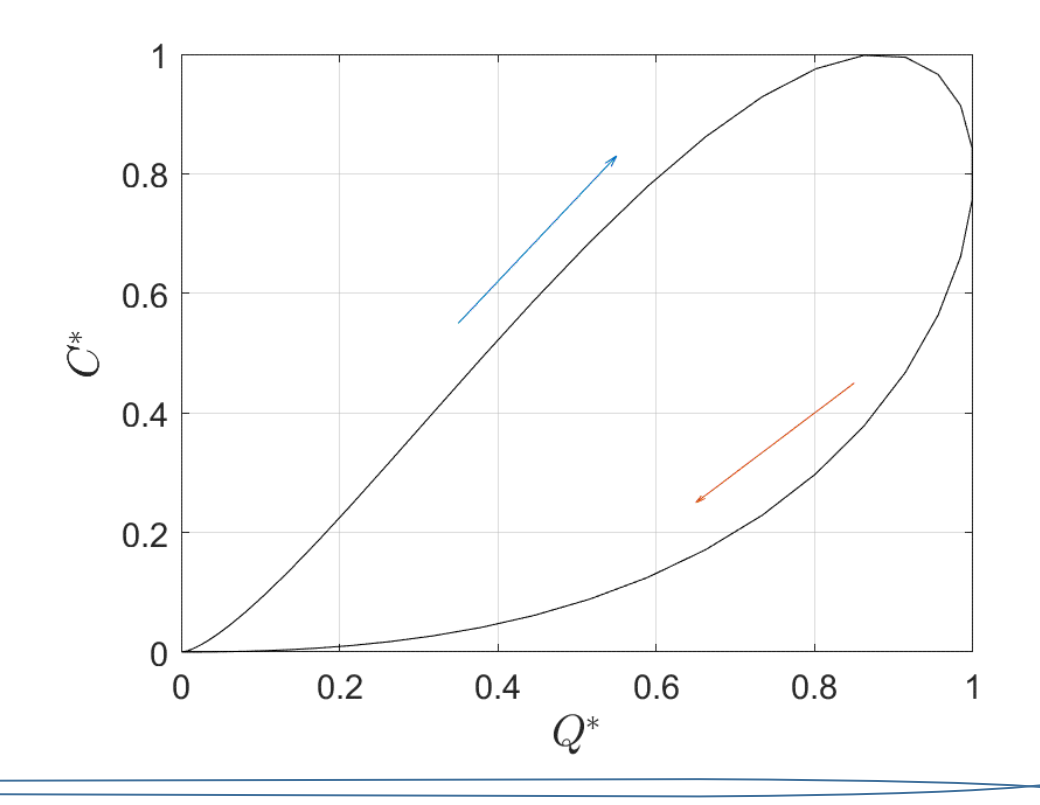


Paramétrisation de la forme de l'hystérèse (Lloyd et al., 2016)

• Index de Lloyd $I_{HL} = \text{mean} \left[C_{i,rising}^*(Q_i^*) - C_{i,falling}^*(Q_i^*) \right]_{i=1:n}$

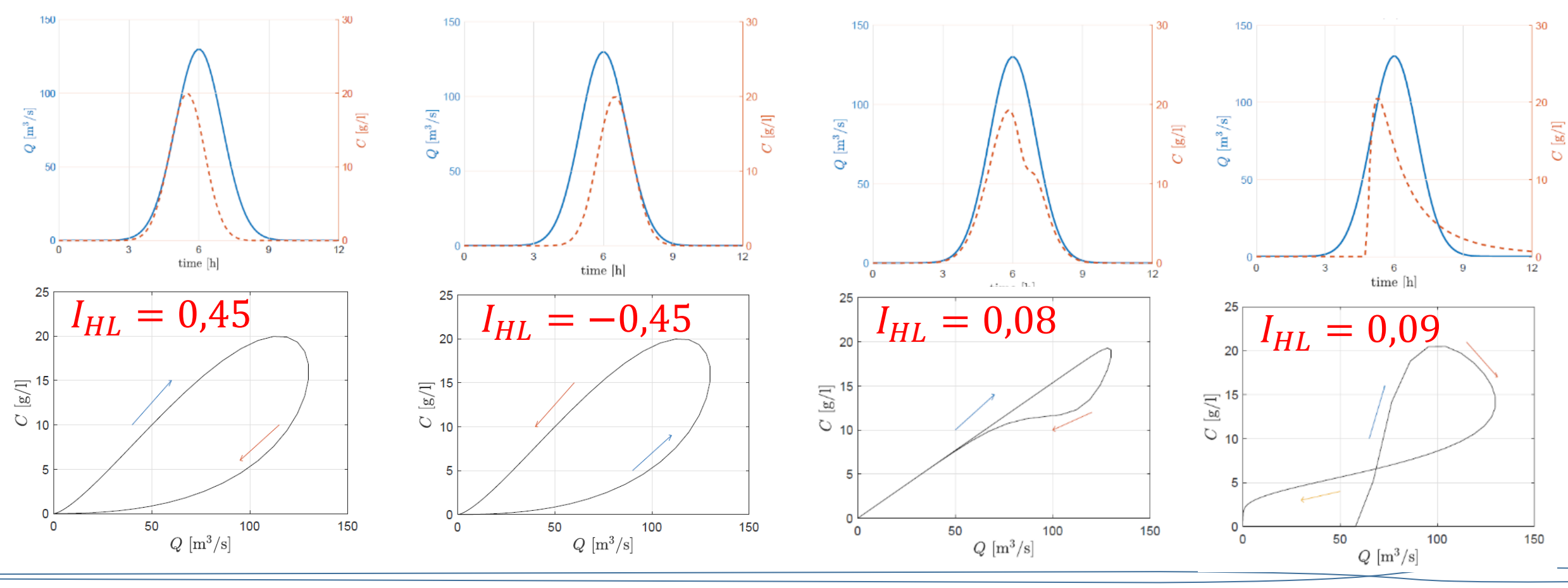
$$C^* = \frac{C - C_{min}}{C_{max} - C_{min}}$$

$$Q^* = \frac{Q - Q_{min}}{Q_{max} - Q_{min}}$$



Classification des hysterèses (William, 1989)

(I) hystérèse horaire, (II) hystérèse anti-horaire, (III) hystérèse à seuil, (IV) hystérèse en 8

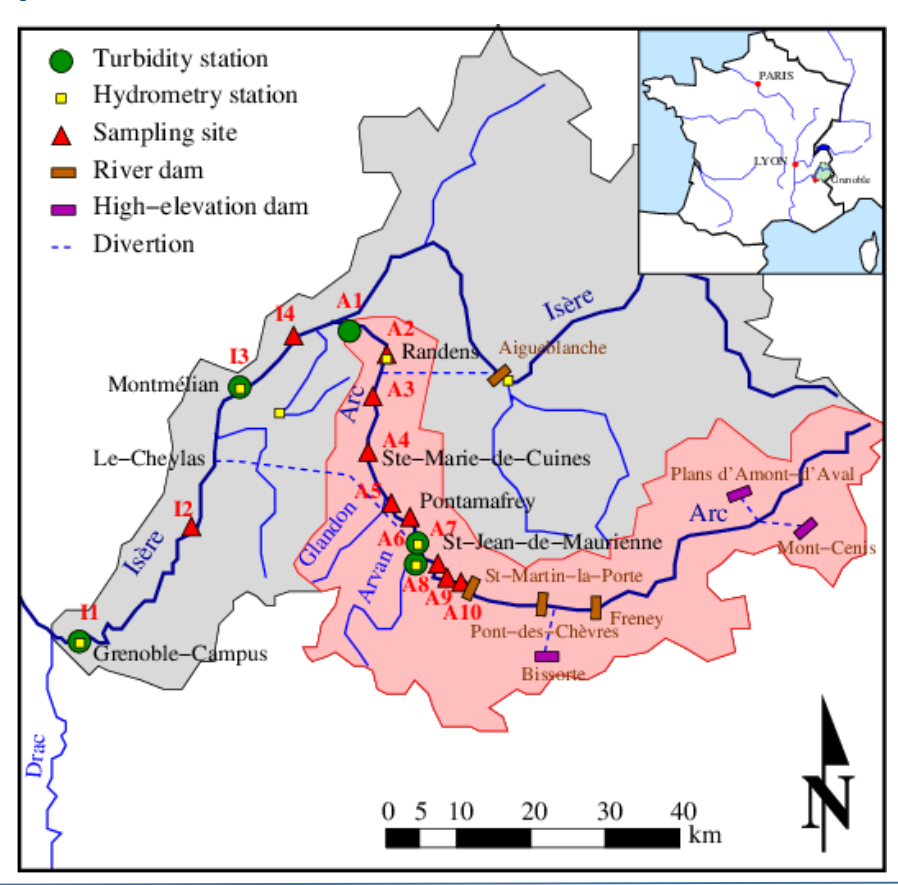


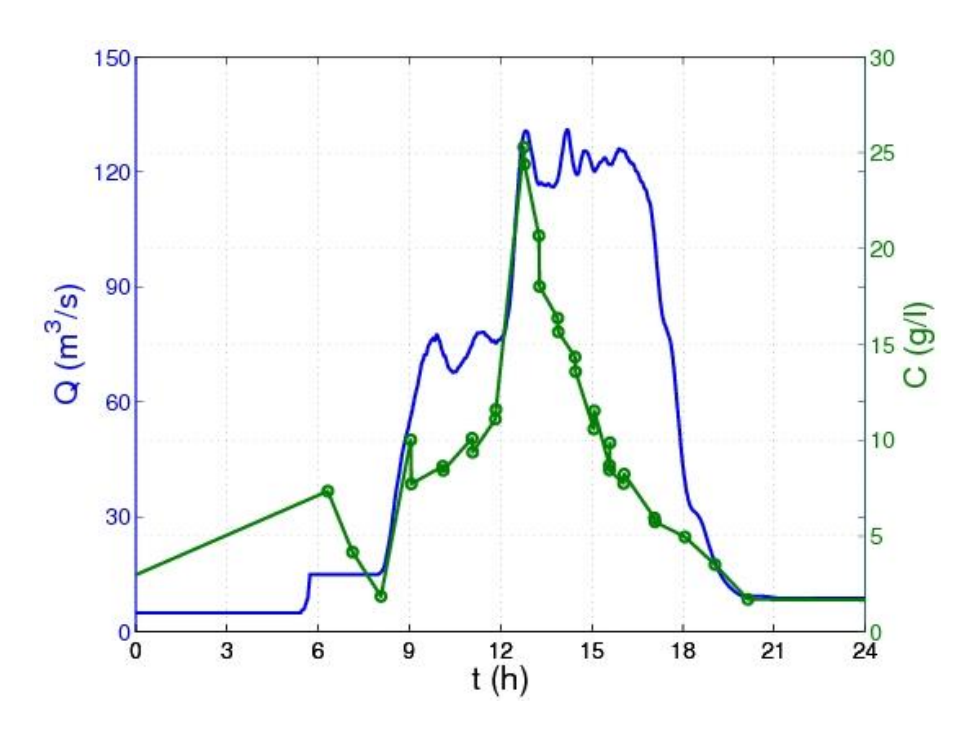




Evolution de l'hystérèse le long de l'Arc-en-Maurienne (chasses de barrages)

• Application aux chasses de barrage de l'Arc-en-Maurienne



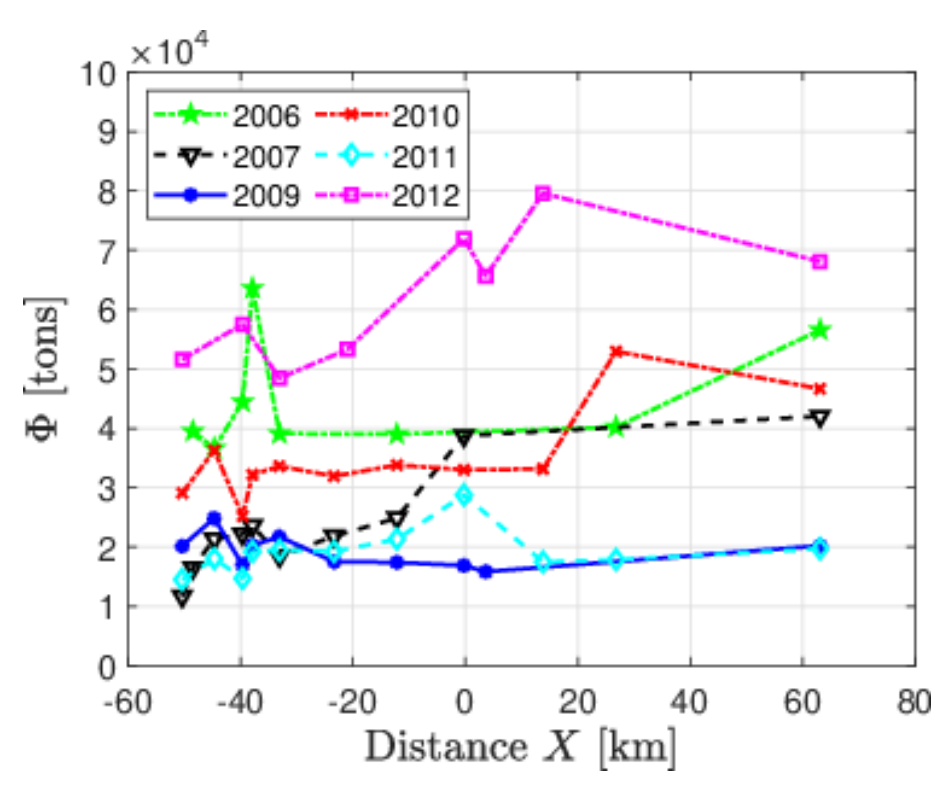


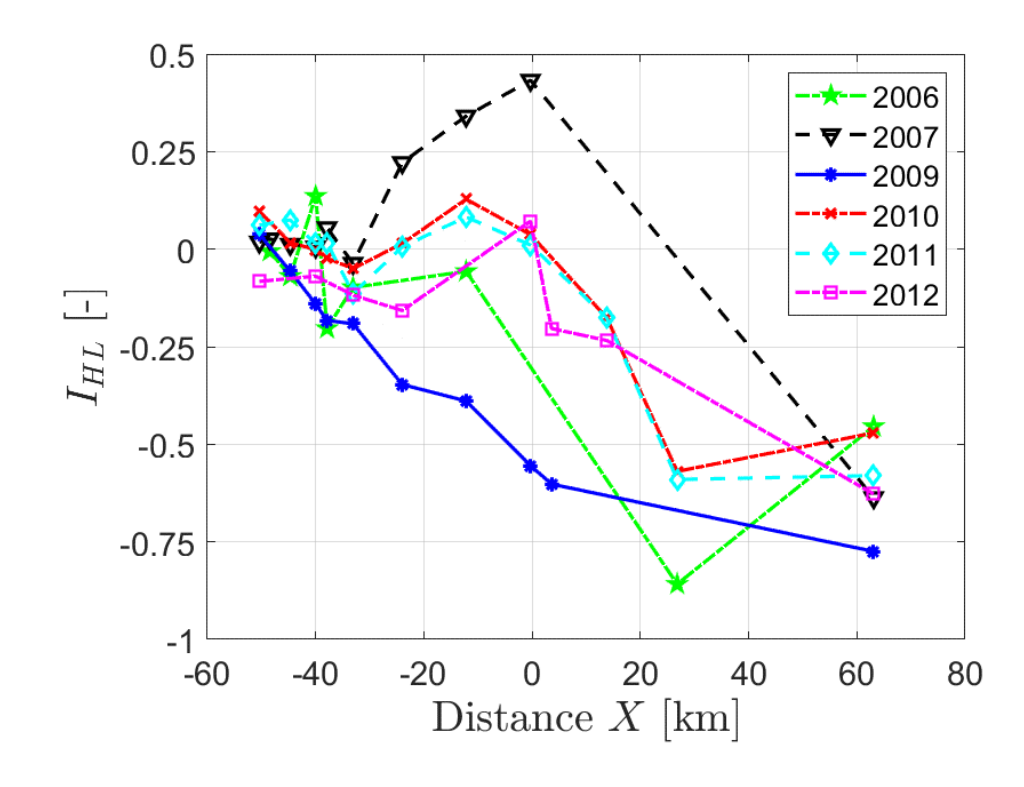
Camenen et al., 2008



Evolution de l'hystérèse le long de l'Arc-en-Maurienne (chasses de barrages)

Application aux chasses de barrage de l'Arc-en-Maurienne





Antoine et al., 2020





- Analyse de sensibilité à partir d'un modèle hydro-sédimentaire 1D (Mage-AdisTS, Guertault et al., 2016; Launay et al., 2015, 2019)
- Analyse de sensibilité sur un tronçon uniforme de section trapézoïdale
 - Section de 50m de large
 - Hydrogramme et sédigramme amont théoriques symétriques (i.e. $I_{HL,0}=0$)
 - Diffusion (Iwasa & Aya, 1991), coef. 2,0 20 200
 - Pente: 0,1% 1%
 - Coefficient de Strickler: 20 30 50 m^{1/3}s⁻¹
 - Débit de base: 10% débit max ou 40% débit max

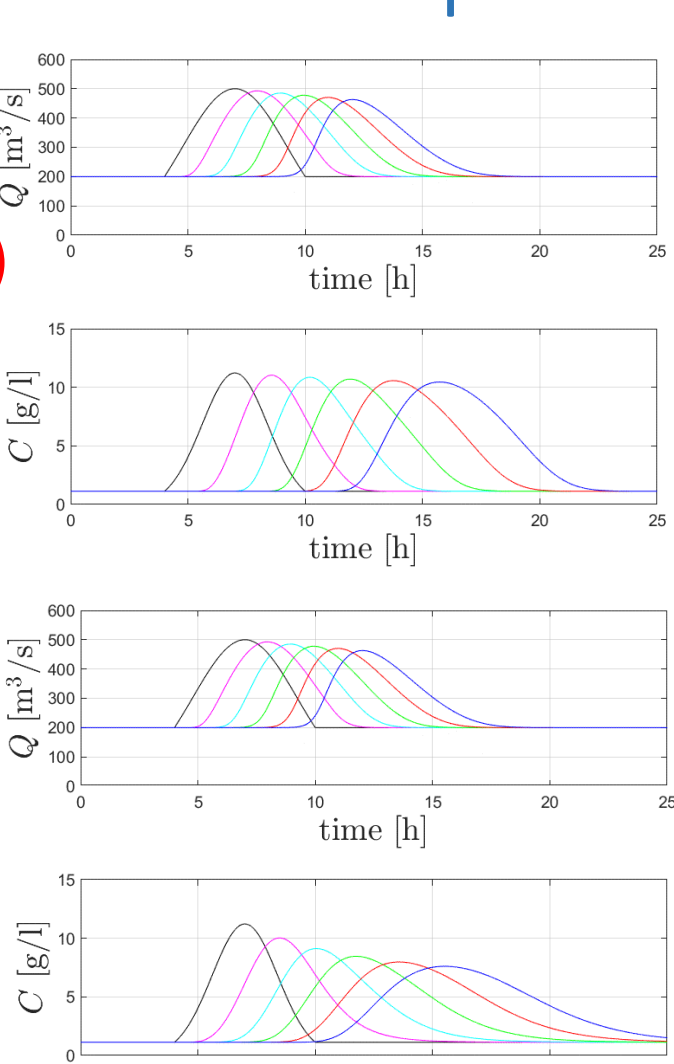
• Effet de la diffusion S = 0.1%

Iwasa & Aya (1991)

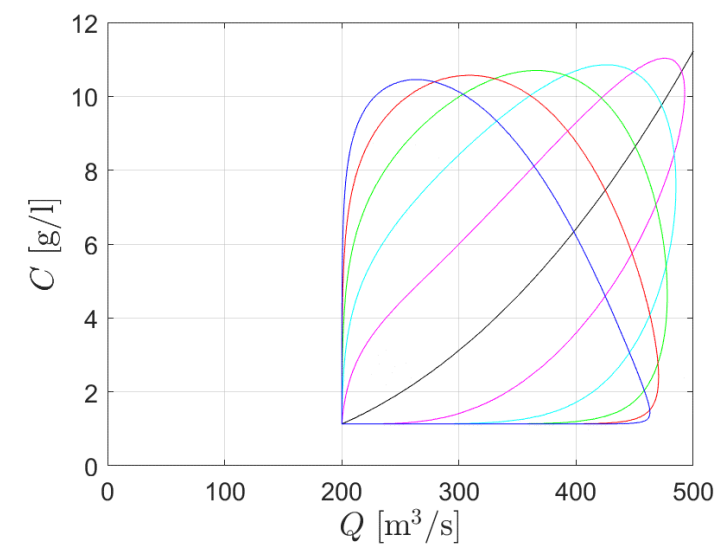
Coef = 2,0

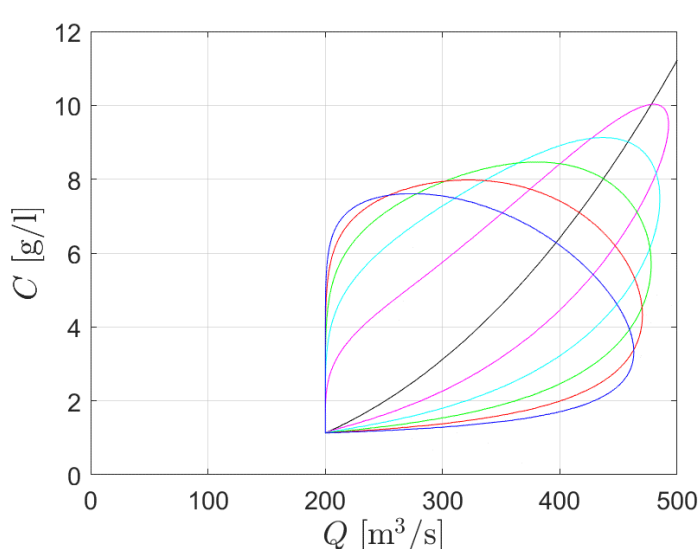
Réduction du pic de concentration

Iwasa & Aya (1991) Coef = 20



time [h]







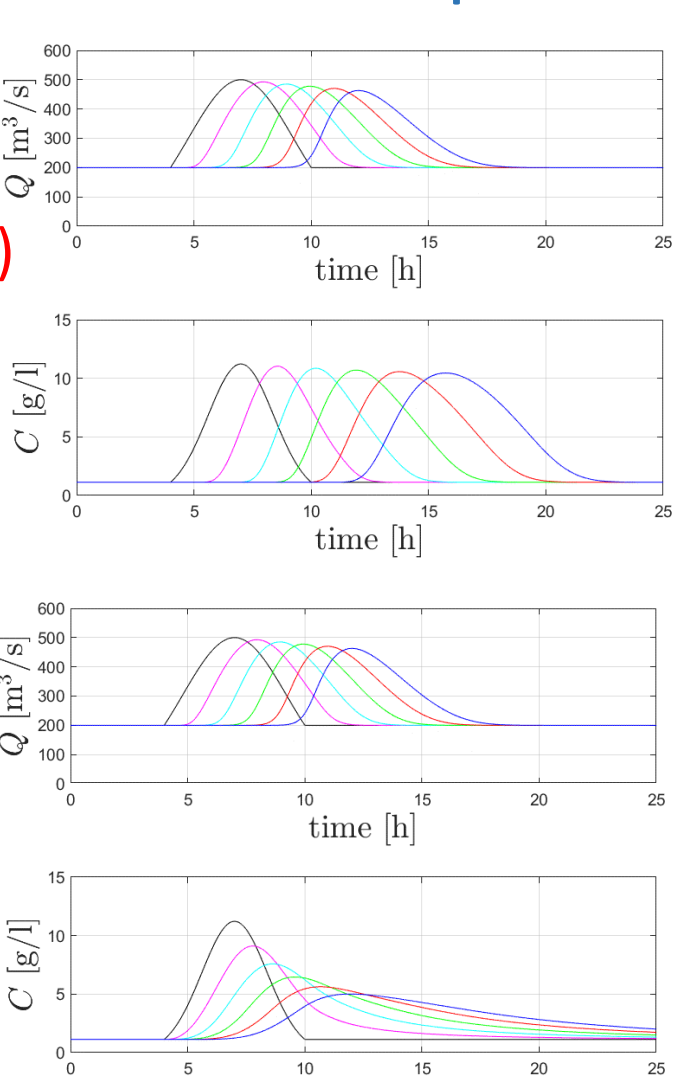
• Effet de la diffusion S = 0.1%

Iwasa & Aya (1991)

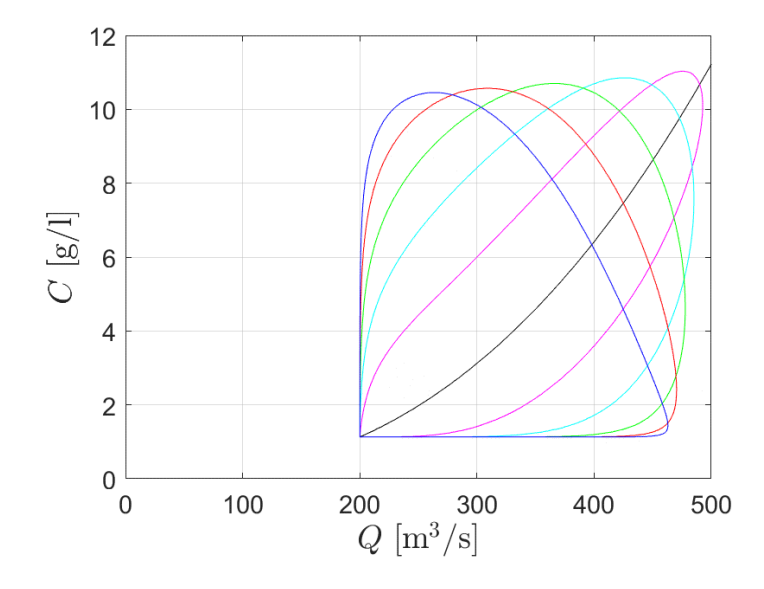
Coef = 2,0

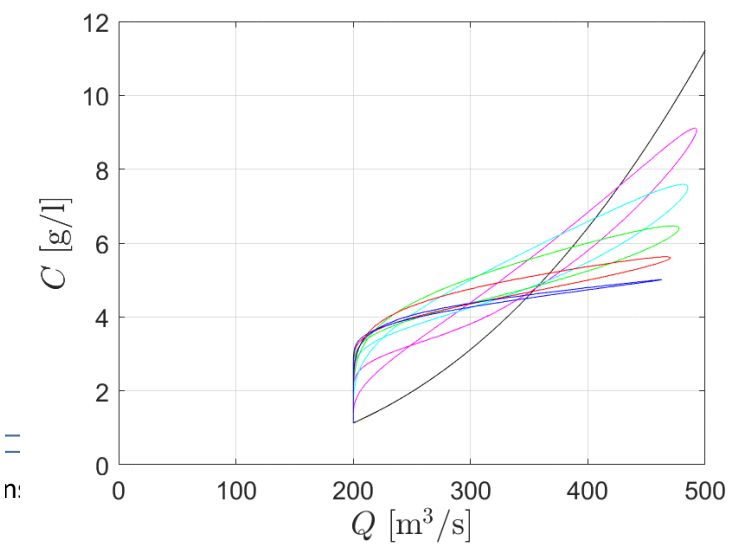
- Réduction du pic de concentration
- Pseudo accélération du pic de concentration

Iwasa & Aya (1991) Coef = 200



time [h]





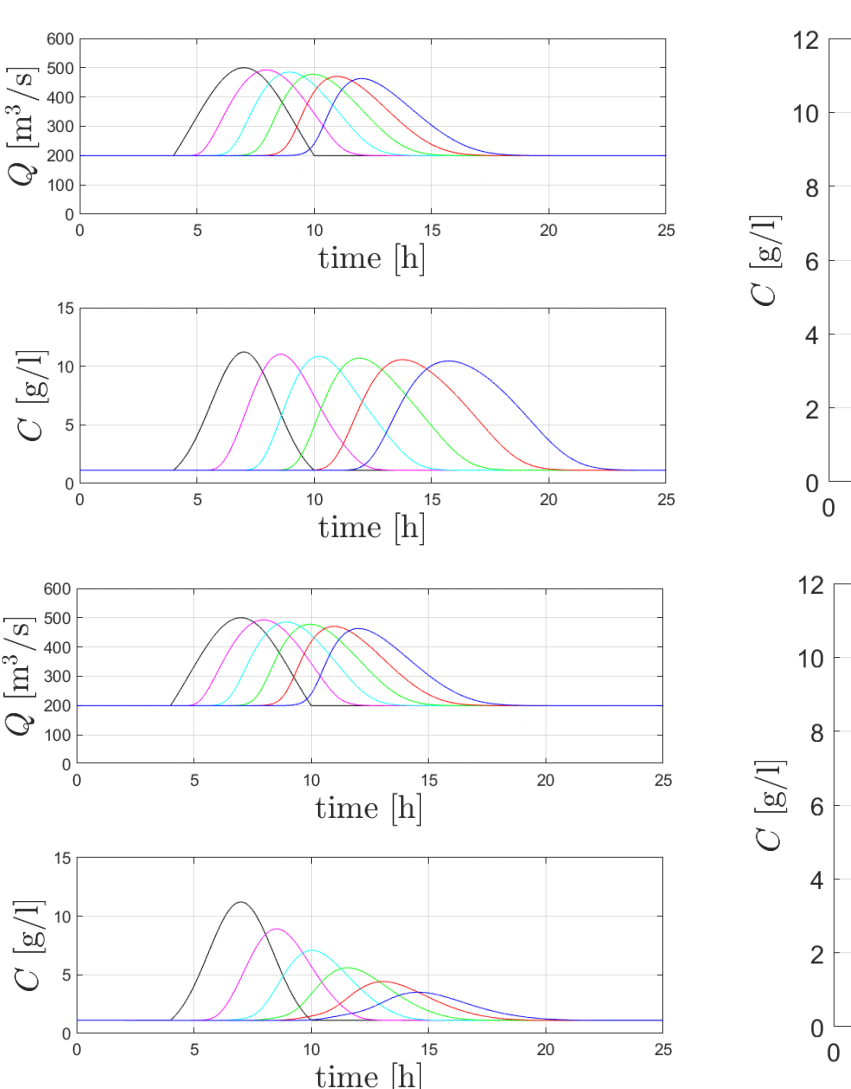


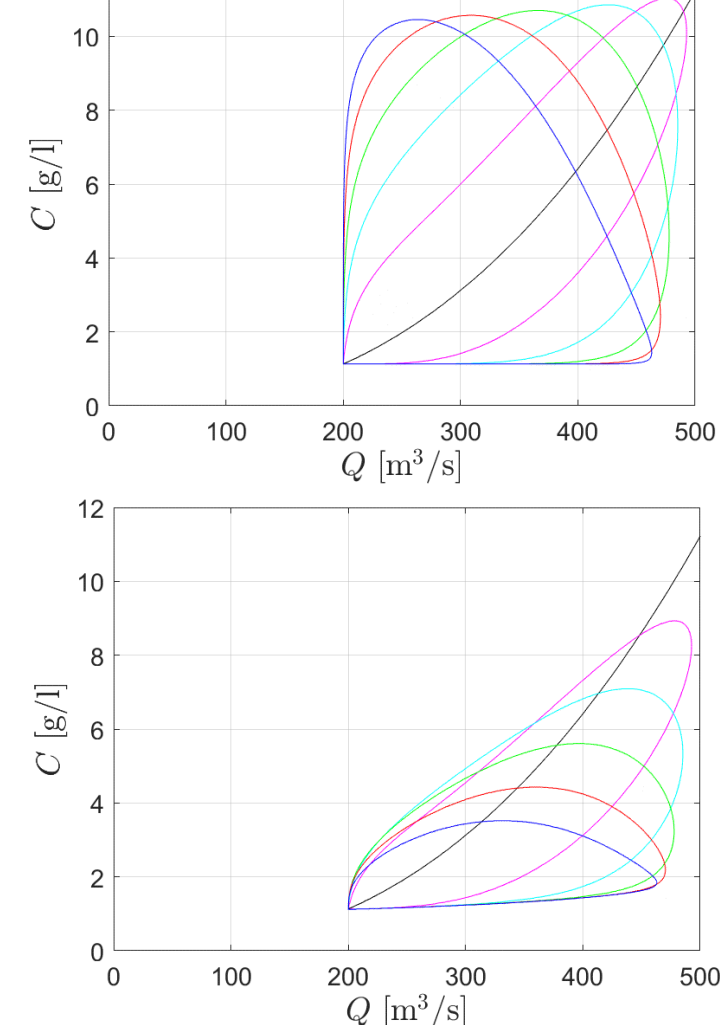
• Effet d'un dépôt S = 0,1%, Diff: I&A2,0

Pas dépôt

Réduction du pic de concentration

Dépôt continu (40% au bout de 50km)





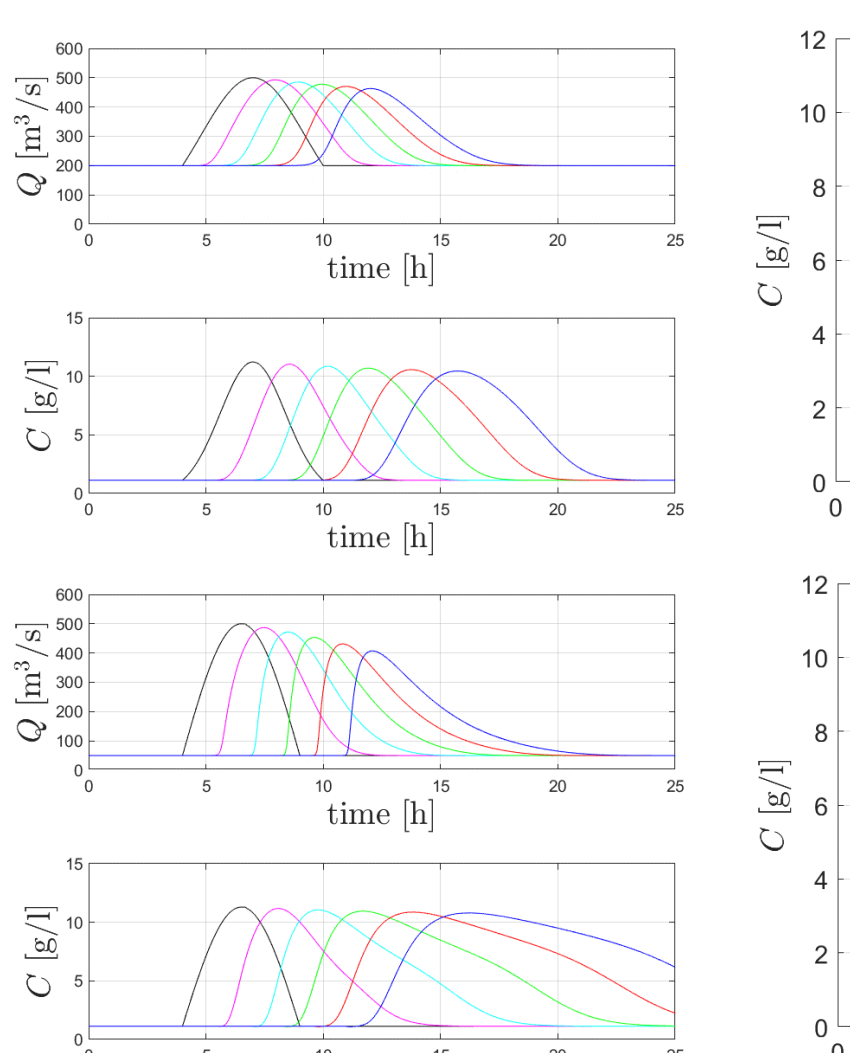


• Effet du débit de base S = 0,1%, Diff: I&A2,0

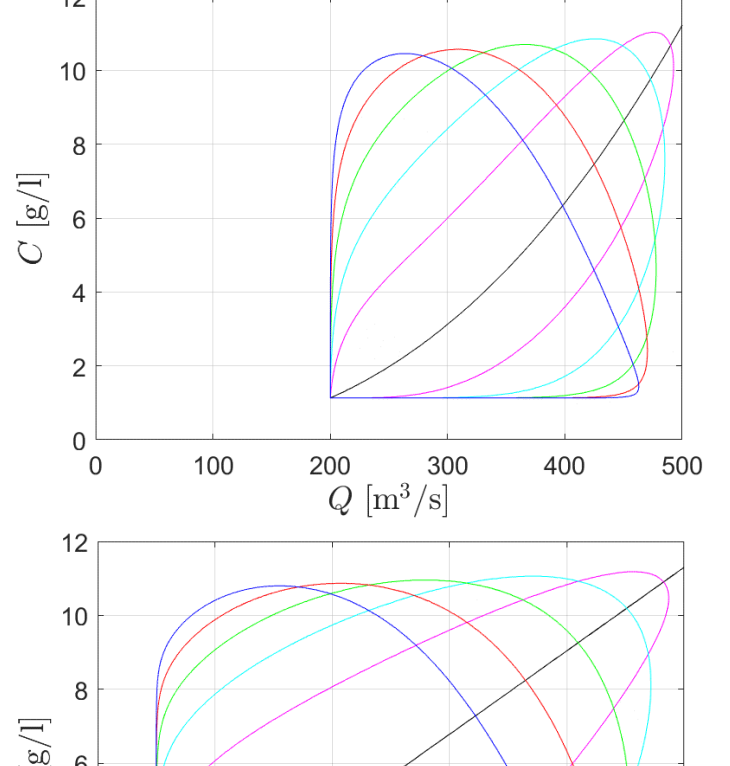
$$Q_0 = 200 \text{m}^3/\text{s}$$

Déformation du signal de crue

$$Q_0 = 50 \text{m}^3/\text{s}$$



time [h]



200

 $Q \, [\mathrm{m}^3/\mathrm{s}]$

100

300

400

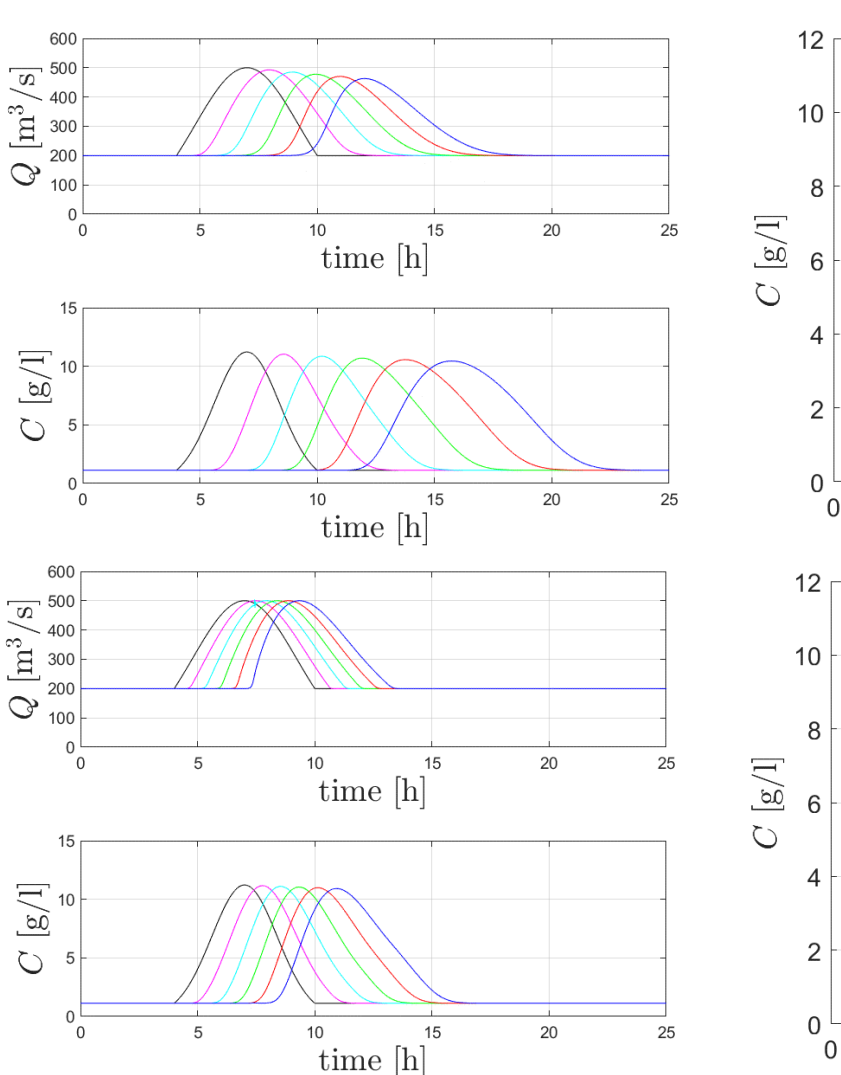


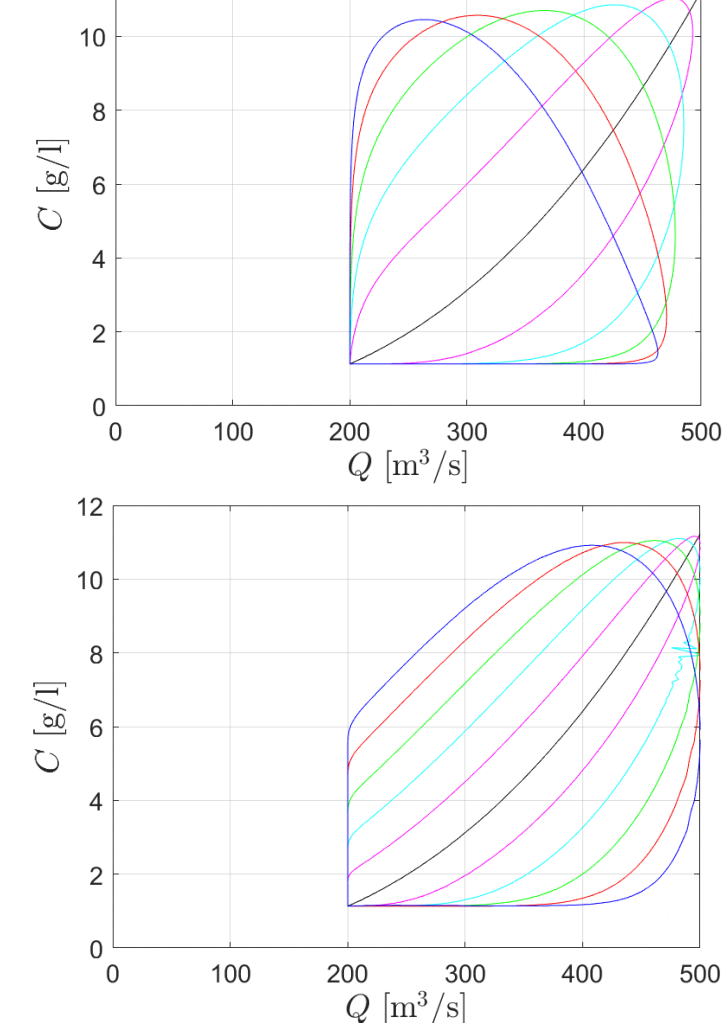
• Effet de la pente Diff: I&A2,0

$$S = 0.1\%$$

- Accélération des ondes de débit et concentration
- Légère atténuation de la diffusion

$$S = 1\%$$



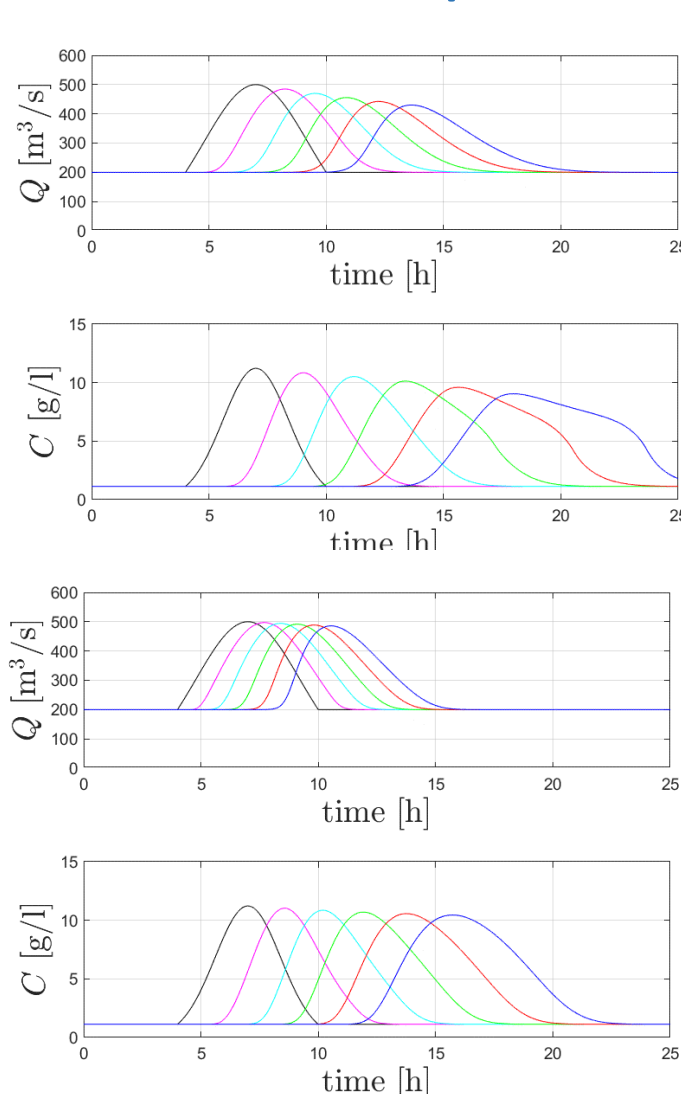


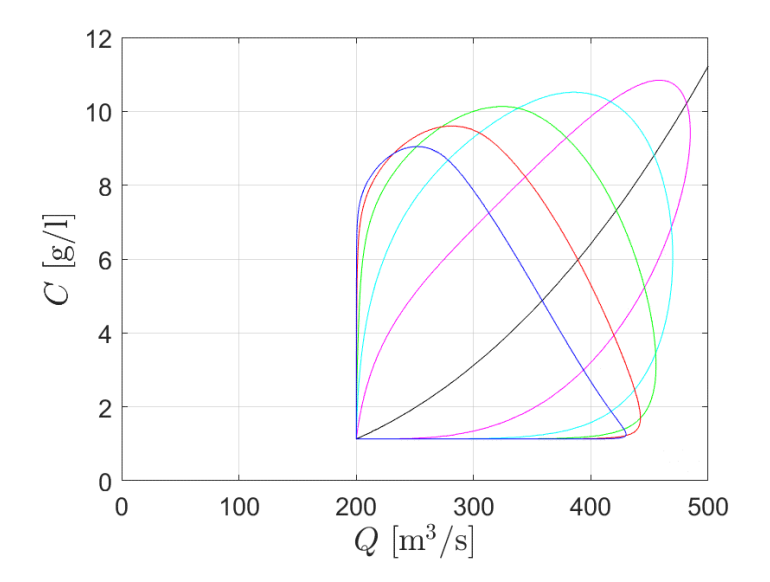
• Effet du Strickler S = 0,1%, Diff: I&A2,0

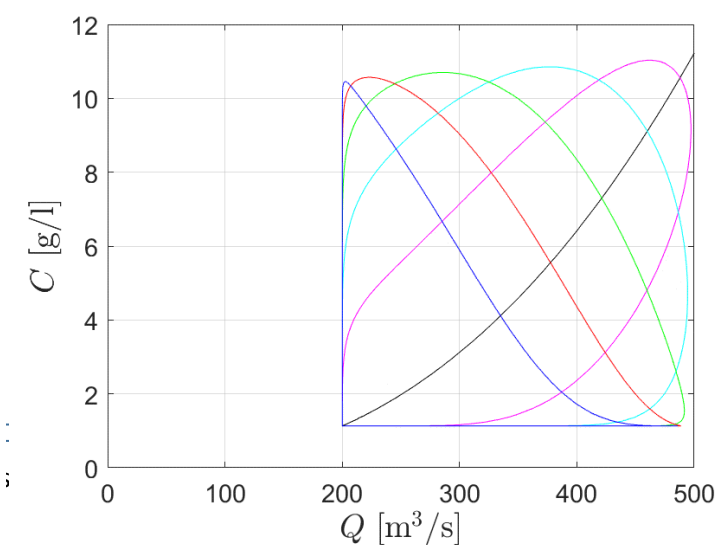
$$K_{\rm S} = 20 \, {\rm m}^{1/3}/{\rm s}$$

- Accélération de l'onde de débit mais peu concentration
- Impact des forts Strickler sur la diffusion

$$K_{\rm S} = 50 \, {\rm m}^{1/3}/{\rm s}$$

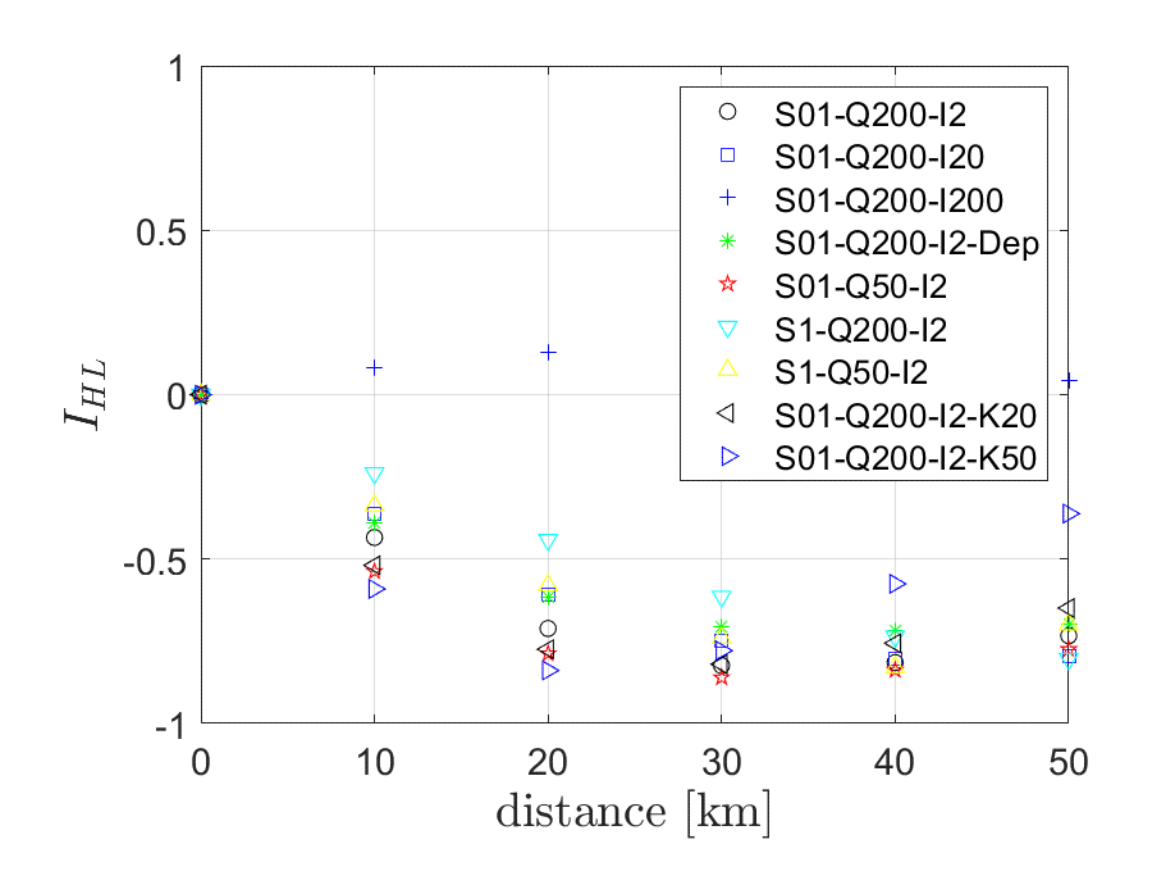








- Influence des paramètres sur l'hystérèse
 - Diffusion plus élevée $\rightarrow I_{HL}$ plus élevé
 - Dépôt $\rightarrow I_{HL}$ plus élevé
 - Débit de base plus faible $\rightarrow I_{HL}$ plus faible
 - Pente plus élevée $\rightarrow I_{HL}$ plus élevé
 - Strickler plus élevé $\rightarrow I_{HL}$ plus faible?
 - → Impact du nombre de Froude?
- Paramètre de Lloyd I_{HL}
 - « saturation » quand $I_{HL} < -0.8$
 - Augmentation réaliste par la suite?
 - Non réaliste si perte de matière





Conclusions

- Impact de la distance à la source sur la propagation du signal Q-C
 - Propagation de l'onde de crue avec une célérité c=Vgh
 - Propagation des particules avec (au mieux) la vitesse de l'écoulement
- Evolution de l'hystérèse (I_{HL}) décroissante le long d'un tronçon de rivière s'il n'y a aucun échange avec le fond; a priori principalement fonction du nombre de Froude
- Très forte sensibilité à la diffusion (et donc au frottement)
- En cas de dépôt local, l'hystérèse est atténué ($|I_{HL}|$ décroissant)
- En cas d'érosion locale (reprise de stock en montée de crue), évolution de l'hystérèse (I_{HL}) croissante mais difficile à évaluer
- Importance du débit de base (par rapport sur au pic de crue et la durée de la crue) sur l'évolution de l'onde de crue

Perspectives

- Possible prédiction de I_{HL} lié à la propagation de l'onde de crue?
- Amélioration du paramètre de Lloyd ?
- Besoin d'une analyse plus poussée des effets de chacun des paramètres